El Clima Hoy

Lluvias en la precordillera y aluvión en Las Condes

Emisión: 14 de octubre de 2026

Aluvión en San Carlos de Apoquindo: contexto meteorológico

Durante la tarde del jueves 8 de octubre de 2026, se registró un aluvión en el sector de Quebrada Honda, en San Carlos de Apoquindo, comuna de Las Condes, Región Metropolitana, en un contexto de precipitaciones concentradas en un corto período. El flujo de agua, barro y material suelto descendió por la quebrada, arrastrando rocas, vegetación y otros elementos a su paso. Como consecuencia, alcanzó calles y viviendas, arrastró vehículos y dificultó el tránsito en el sector.

¿Qué condiciones meteorológicas precedieron al evento? Durante los días previos, un sistema frontal afectó a la zona central del país. Posteriormente, una vaguada con circulación cerrada en niveles medios de la atmósfera (según protocolo de análisis de la DMC), generó condiciones favorables para la inestabilidad atmosférica. La humedad disponible y el ascenso del aire sobre la cordillera contribuyeron al desarrollo de tormentas y lluvias intensas en corto período de tiempo durante la tarde del 8 de octubre. A estas condiciones meteorológicas se suma un antecedente relevante: el incendio de diciembre de 2025, que afectó gran parte de la cuenca de Quebrada Honda. La pérdida de vegetación y las alteraciones del suelo pudieron favorecer la escorrentía superficial y el arrastre de sedimentos. De esta manera, el evento podría estar asociado a la combinación de precipitaciones intensas y condiciones preexistentes de terreno, sin embargo, para determinar la contribución de cada factor requiere estudios adicionales. Para conocer más sobre estos antecedentes, se puede consultar el análisis del Centro de Ciencia del Clima y la Resiliencia (CR2).

Las Fig. 1a) y 1b), de las 21:00 hora local del 7 de octubre y de las 09:00 hora local del 8 de octubre de 2026, respectivamente, muestran un frente ocluido asociado a un centro de baja presión en superficie frente a la zona centro-sur de Chile. Esta configuración persistió después de que el frente frío se desplazara al norte de la Región Metropolitana durante el 7 de octubre. Posteriormente, en niveles medios de la tropósfera se desarrolló una vaguada de onda media, asociada a una circulación cerrada y que permaneció semiestacionaria durante el día del aluvión. Su circulación favoreció vientos del noroeste, contribuyendo a que las masas de aire se vieran forzadas a ascender al encontrarse con la cordillera de los Andes. El aire frío en altura, el calentamiento diurno y la abundante humedad remanente del río atmosférico de los días previos favorecieron el desarrollo de tormentas eléctricas y precipitaciones intensas de corta duración en las regiones de Valparaíso, Metropolitana y O'Higgins. Entre ellas, las lluvias concentradas en el sector nororiente de Santiago actuaron como desencadenante del aluvión en San Carlos de Apoquindo.

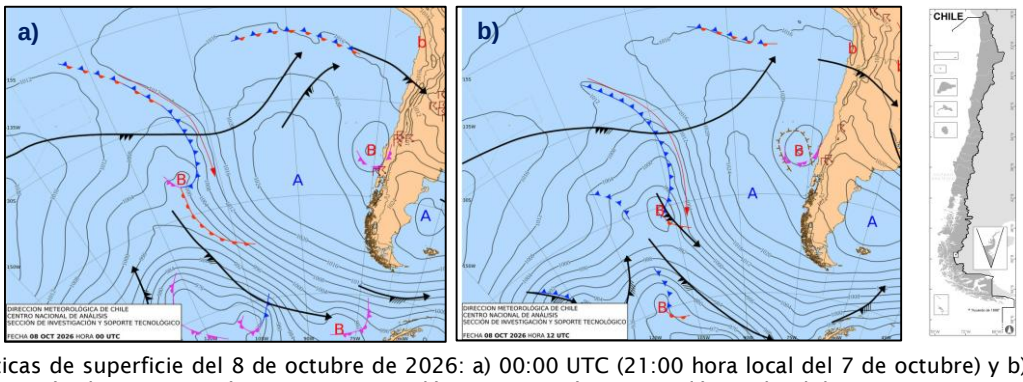


Fig. 1. Cartas sinópticas de superficie del 8 de octubre de 2026: a) 00:00 UTC (21:00 hora local del 7 de octubre) y b) 12:00 UTC (09:00 hora local). Fuente: Sección de Investigación y Soporte Tecnológico, Dirección Meteorológica de Chile.

La Fig. 2 muestra la evolución de la nubosidad sobre Santiago y la cordillera de los Andes, mediante imágenes del espectro infrarrojo (canal 12) del satélite GOES-19. En la secuencia, la nubosidad se concentra inicialmente en las proximidades de la cordillera (a) y luego se extiende hacia el este y noreste de la ciudad (b). Más tarde, aumenta la cobertura y desarrollo vertical de la nubosidad sobre el sector cordillerano (c), donde persiste durante la última imagen, con una extensión hacia el sureste de Santiago (d).

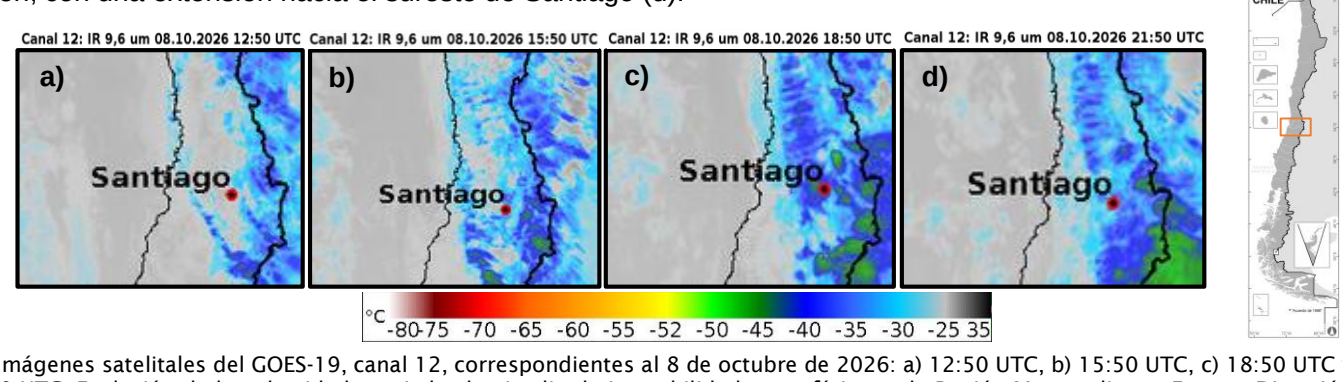


Fig. 2. Imágenes satelitales del GOES-19, canal 12, correspondientes al 8 de octubre de 2026: a) 12:50 UTC, b) 15:50 UTC, c) 18:50 UTC y d) 21:50 UTC. Evolución de la nubosidad asociada al episodio de inestabilidad atmosférica en la Región Metropolitana. Fuente: Dirección Meteorológica de Chile.

La Fig. 3 muestra la evolución de la nubosidad convectiva y las descargas eléctricas en las cercanías de Las Condes y Lo Barnechea durante el 8 de octubre de 2026. A las 15:00 y 17:30 hora local (18:00 y 20:30 UTC, respectivamente), se observa una marcada concentración de descargas hacia el sector cordillerano, que evidencia el desarrollo de tormentas eléctricas en el área. Esta actividad refleja una convección activa, aunque por sí sola no permite determinar la intensidad de las precipitaciones ni de los vientos asociados.

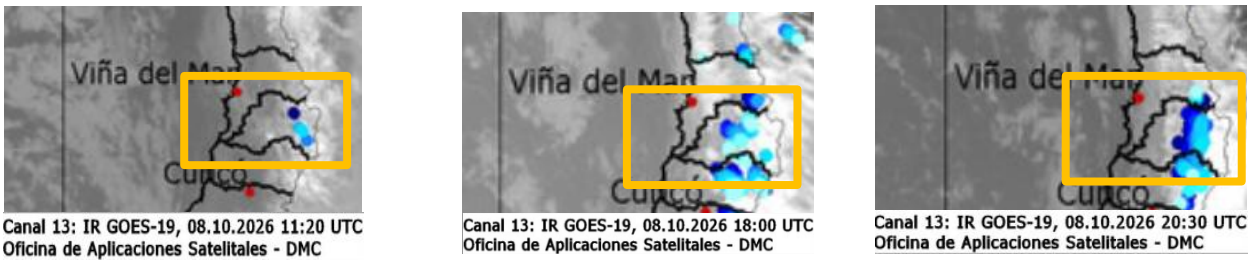


Fig 3. Evolución de las tormentas en las cercanías de las comunas de Las Condes y Lo Barnechea. Imágenes generadas a partir del GOES-19, por la Oficina de Aplicaciones Satelitales de la Dirección Meteorológica de Chile.

La Fig. 4 muestra la evolución de las precipitaciones registradas por cinco estaciones de la Dirección General de Aguas (DGA) durante el 8 de octubre de 2026. Entre las 13:00 y las 15:00 horas locales, los montos fueron bajos. A partir de las 16:00 horas aumentaron, con un máximo de aproximadamente 9,1 mm en Parque El Arrayán a las 16:00 y de 5,8 mm en Lo Barnechea–San Enrique a las 17:00. A las 18:00 horas, Cerro Calán y Río Molina registraron cerca de 5,9 y 5,5 mm, respectivamente.

Posteriormente, las precipitaciones variaron entre estaciones, con un nuevo incremento en Río Molina a las 21:00 horas, cuando se registraron aproximadamente 5,3 mm. Hacia el final del período, los montos tendieron a disminuir, aunque las lluvias persistieron en algunos sectores. La secuencia refleja diferencias en la distribución y el momento de mayor precipitación entre los puntos de observación.

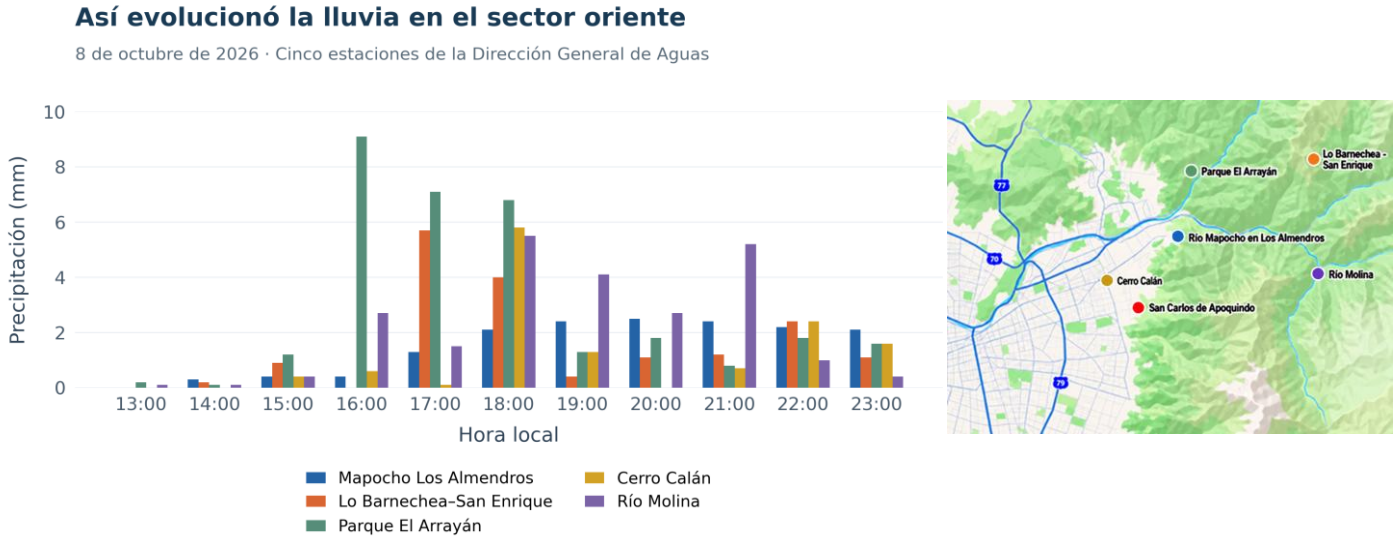


Fig. 4. Precipitación registrada en estaciones de la Dirección General de Aguas (DGA) ubicadas en sectores precordilleranos y cordilleranos próximos a las comunas de Las Condes y Lo Barnechea (izquierda), y ubicación de las estaciones (derecha). Fuente: Dirección General de Aguas (DGA).

Consecuencias

El episodio dejó inundaciones con acumulación de barro y escombros en sectores de la comuna de Las Condes, como se muestra en la Fig. 5. Según medios de comunicación, el flujo afectó viviendas, arrastró vehículos y obstruyó calles, generando cortes de tránsito. También se reportaron evacuaciones preventivas e interrupciones en el suministro de servicios básicos en los sectores afectados.



Fig. 5. Impactos del aluvión en Las Condes: a) persona sobre un camión; b) calles anegadas y vehículos atrapados en el barro; c) vista aérea de las calles afectadas. Fuentes: Canal 9, Emol y HuechurabaHoy.